

# Multi-H: Érintősíkok hatékony kinyerése képpárokból

Daniel Barath<sup>1</sup>, Jiri Matas<sup>2</sup>, Levente Hajder<sup>1</sup>

<sup>1</sup> MTA SZTAKI, Machine Perception Research Laboratory, Budapest  
{barath.daniel,hajder.levente}@sztaki.mta.hu

<sup>2</sup> The Center for Machine Perception Department of Cybernetics Faculty of  
Electrical Engineering Czech Technical University, Prague  
matas@cmp.felk.cvut.cz

**Kivonat** A Multi-H algoritmus<sup>1</sup> hatékony módszer érintősíkok kinyerésére pont-megfeleltetésekből, melyek kielégítik az epipoláris feltételeket. A problémát energia-minimalizációs feladatként fogalmazzunk meg, ahol a minimalizálandó energia egy adat és egy térbeli összetartozási kifejezésekből áll. A síkok számát a Mean-Shift és Alpha-Expansion algoritmusok segítségével kontrolláljuk.

A fountain-P11 háromdimenziós adathalmazon bemutatjuk, hogy a Multi-H módszer pontos becslést ad az érintősíkokra. Ezen felül az AdelaideRMF adathalmazon demonstráljuk, hogy a módszer felülmúlja a legkorszerűbb multi-homográfia illesztő technikákat. Mivel a Multi-H közel hiba nélküli eredményt ért el ezeken, készítettünk új képpárokat, melyeken a multi-homográfia illesztés lényegesen nehezebb feladat.

## 1.. Bevezetés

A külső és belső szinterek megértése alapvető fontosságú a Számítógépes Látás számos területén. Az ember-készítette objektumok sokszor főleg síkszerű régiókból állnak – jellemzően városi környezetben vagy belső szintéren. A felmerülő feladatok megoldására sok algoritmus síkokat vagy síkszerű objektumokat használ. Ilyen feladatok például a kamera kalibráció [1,2,3], robot navigáció [4,5], kiterjesztett valóság [6] vagy éppen a háromdimenziós rekonstrukció [7,8].

Ez a cikk elsősorban a szintéren megjelenő érintősíkok pontos becslését tűzi ki célul, olyan módon, hogy két kép közötti pont-megfeleltetéseket – melyek kielégítik az epipoláris kényszert – az érintősíkok hasonlósága alapján particionálja. Egy sík-sík megfeleltetés két kép között az úgynevezett homográfia mátrixszal írható le [9]. Ennek becslésére számos lehetőség adódik különböző típusú bemeneti adatok felhasználásával, például elérhetőek pont- [9], egyenes- [9], kúp- [10,11], lokális affin transzformáció- [12] vagy régió-alapú [13] módszerek is.

Több algoritmus létezik multi-homográfia becslésre – egyidőben több sík megtalálására képpárok között.<sup>2</sup> A közkedvelt RANSAC paradigmának elérhető

<sup>1</sup> A cikk angol nyelvű változata a BMVC2016 konferencián jelent meg.

<sup>2</sup> A könnyebb érthetőség kedvéért nem általános modellekről, hanem homográfiaikról beszélünk, annak ellenére, hogy a tárgyalt módszerek jórészt általános eljárások, melyek alkalmasak tetszőleges típusú modell illesztésére.

több erre a feladatra kiterjesztett változata: a szekvenciális RANSAC [14] vagy a multiRANSAC [15]. A RANSAC mohó stratégiája annak ellenére, hogy egy modell illesztésére kiváltképp alkalmas, nehézségekbe ütközik, amennyiben egy időben többet kell megtalálnia. A J-Linkage [16] vagy a nemrégiben publikált T-Linkage [17] a preferencia térben – ami lényegében a pontokpárok síkokhoz való rendelésének költségét írja le – véletlenszerűen generált homográfiákat klaszterez. A J-Linkage ezeket a klasztereket az úgynevezett Jaccard-távolság<sup>3</sup> alapján vonja össze iteratív módon. A T-Linkage algoritmus ezt az elgondolást terjeszti ki folytonos preferencia térre, és a preferencia-vektorok közötti távolság-függvényt a Tanimoto-távolságra cseréli. Mindkét algoritmus az alapján dönti el, hogy egy kimenetként kapott modell fontos-e vagy sem, hogy elegendő pont tartozik-e hozzá.

Az általunk bemutatott munkához legközelebbi eljárás a Boykov és mtsai. által publikált PEARL algoritmus [18]. A PEARL a multi-homográfia illesztési feladatot tisztán egy globális energia-függvény optimalizációjaként írja le. Ebben az energiában az adattag egy pont adott homográfiához való rendelésének költségét írja le. A második, térbeli összetartozást leíró kifejezés arra a feltételezésre épül, hogy azok a pontok, amelyek közel vannak egymáshoz, nagy valószínűséggel ugyanahhoz a síkhoz is tartoznak. Az energia harmadik tagja bünteti a felhasznált homográfiák számát, ezzel elérve azt, hogy a "gyenge" homográfiákat eldobja a rendszer.

A PEARL-höz hasonlóan mi is egy az energiát minimalizáló címkézés kereséseként írjuk le a problémát. Az általunk javasolt energia hasonló: ugyanazon adat és térbeli összetartozási tagokból áll. Azonban a javasolt Multi-H algoritmusban a harmadik tagot elhagytuk, és a homográfiák számát Mean-Shift [19] és  $\alpha$ -expansion [20] segítségével kontrolláljuk.

Kiegészítve a PEARL stratégiát egy determinisztikus inicializálási technikával és a Mean-Shift algoritmussal a Multi-H felülmúlja a PEARL algoritmust mind pontosságban, mind sebességben. Felhasználjuk a Baráth és mtsai. [12] által javasolt módszert arra, hogy minden egyes pont-megfeleltetéshez és a hozzá tartozó lokális affin transzformációhoz egy egyedi homográfiát becsüljünk. Másik fontos tulajdonsága az algoritmusnak, hogy nem a pontok száma alapján döntjük el egy síkról, hogy erős-e, hiszen ez a felhasználási területtől függ. Például a kis kiterjedésű síkok hasznosak lehetnek rekonstrukcióban, míg a domináns síkok meghatározásában nem játszanak nagy szerepet.

A cikk eredményei: (i) egy módszer, amely a pont-megfeleltetéseket közös síkokhoz rendeli az érintősíkjaik hasonlósága alapján – így becsül pontos felületi normálisokat. Azáltal, hogy nem döntünk egy sík fontosságáról, mind a gyenge, mind az erős síkokból hasznos információ származik. (ii) Megmutattuk, hogy az általánosan használt véletlenszerű kezdeti homográfia-generálás javítható és felcserélhető egy determinisztikus algoritmussal. A Multi-H eredményei ezáltal jelentősen felülmúlják a korszerű multi-homográfia becslő módszereket.

---

<sup>3</sup> A Jaccard-távolság két halmaz átfedését méri.

(iii) Bevezetünk és publikusan elérhetővé teszünk új, nagyobb kihívást jelentő képpárokat.<sup>4</sup>

## 2.. Multi-homográfia Becslés – Multi-H

A Multi-H algoritmus minden pontmegfeleltetéshez egy érintősíkot rendel, olyan módon, hogy közös síkok szerint csoportosítja őket. Az egyetlen elvárt bemenet egy képpár. A kimenet homográfia halmaza – melyek leírják a közös érintősíkokat – és egy címke minden egyes megfeleltetéshez, amely hozzárendeli azt egy síkhoz.

### 2.1.. Pontmegfeleltetések és Lokális Affin Transzformációk

Számos módszer létezik lokális affin transzformációk becslésére. Mi az affin-kovariáns jellemzőpont detektorokat részesítjük előnyben [21], hiszen ezek mind a pontokat, mind a lokális transzformációkat egyazon időben szolgáltatják. A MODS<sup>5</sup> [22] algoritmust preferáljuk, mivel az lényegesen gyorsabb, mint az ASIFT [23]. A MODS jó minőségű affinokat szolgáltat és az epipoláris geometriát is megbecsüli, amivel a kimenetként adott pont-megfeleltetések konzisztensek. Természetesen más affin-kovariáns detektor is használható, azonban a megfeleltetéseknek konzisztensnek kell lenniük az  $F$  fundamentális mátrixszal, hiszen ezt a tulajdonságot a Multi-H felhasználja.

Jelöljük az  $i$ . homogén pontot a  $k$ . képen az alábbi módon:  $\mathbf{p}_k^i = [p_k^{i,x} \ p_k^{i,y} \ 1]^T$ ,  $i \in [1, N]$ ,  $k \in \{1, 2\}$ , és a hozzá tartozó affin transzformációt pedig  $\mathbf{A}_k^i$ -val. Pontpárok végtelen kicsi környezetei közötti transzformáció az, amely az első affint a másodikban transzformálja:  $\mathbf{A}^i \mathbf{A}_1^i = \mathbf{A}_2^i$ . Ezért  $\mathbf{A}^i = \mathbf{A}_2^i (\mathbf{A}_1^i)^{-1}$ . Az  $\mathbf{A}^i$  elemei sorfolytonos módon írva:  $a_{11}^i$ ,  $a_{12}^i$ ,  $a_{21}^i$  és  $a_{22}^i$ . Az 1. ábra néhány lokális affin



1. ábra. Egymásnak megfelelő affin transzformációk ellipszisekkel ábrázolva.

<sup>4</sup> <http://web.eee.sztaki.hu/~dbarath/>

<sup>5</sup> <http://cmp.felk.cvut.cz/wbs/>

transzformációt ábrázol ellipszisekkel. Annak érdekében, hogy ezeket az affinokat pontosítsuk, alkalmazzuk rájuk az EG- $L_2$ -Opt korrekciót [24].

Minden egyes pontpárhoz és  $\mathbf{A}_i$ -hez megbecslünk egy  $\mathbf{H}_i$  homográfiát a HAF módszer [12] felhasználásával. Ez a módszer alkalmas arra, hogy már egyetlen pontpárból, a hozzá tartozó affin transzformációból és a fundamentális mátrixból kiszámolja a homográfiát. A becsléshez felír egy lineáris, inhomogén  $\mathbf{C}\mathbf{x} = \mathbf{b}$  alakú egyenletrendszert, ahol az együttható mátrix:

$$\mathbf{C} = \begin{bmatrix} a_{11}^i p_1^{i,x} + p_2^{i,x} - e^x a_{11}^i p_1^{i,y} a_{11}^i \\ a_{12}^i p_1^{i,y} + p_2^{i,x} - e^x a_{12}^i p_1^{i,x} a_{12}^i \\ a_{21}^i p_1^{i,x} + p_2^{i,y} - e^y a_{21}^i p_1^{i,y} a_{21}^i \\ a_{22}^i p_1^{i,y} + p_2^{i,y} - e^y a_{22}^i p_1^{i,x} a_{22}^i \end{bmatrix}, \quad (1)$$

az  $\mathbf{e} = [e^x \ e^y]^T$  pedig az epipólus a második képen. A  $\mathbf{b} = [f_{21} \ f_{22} \ -f_{11} \ -f_{12}]^T$  vektor tartalmazza a inhomogén részeit a négy egyenletnek, míg az  $\mathbf{x} = [h_{31} \ h_{32} \ h_{33}]^T$  az ismeretlen paramétereket. A legkisebb négyzetes értelemben optimális megoldás az  $\mathbf{x} = \mathbf{C}^\dagger \mathbf{b}$  egyenlettel kapható, ahol  $\mathbf{C}^\dagger$  a  $\mathbf{C}$  mátrix Moore-Penrose pszeudo-inverze. A homográfia mátrix végül az utolsó sorának felhasználásával kinyerhető:  $h_{1j} = e^x h_{3j} + f_{2j}$ ,  $h_{2j} = e^y h_{3j} + f_{1j}$ , ahol  $j \in \{1, 2\}$  és  $f_{lm}, l, m \in \{1, 2, 3\}$  az  $\mathbf{F}$  elemei.

## 2.2.. Alternáló Minimalizáció



2. ábra. A felső és alsó sorban levő képek a johnsona teszt két képe. A kék színű poligonok homográfiákat vizualizálnak, melyek egybeesnek (első két oszlop) vagy nem esnek egybe (második két oszlop) érintősíkokkal. A megfeleltetés, amelyből az adott homográfiát becslünk, zölddel van jelölve. A  $\epsilon$ -küszöböléssel kapott inliereket pirossal jelöltük, ahol  $\epsilon = 3.0$  pixel.

A 2.1. fejezetben ismertett inicializáció után a meghatározott homográfiákat egy három lépésből álló alternáció segítségével javítjuk (lásd az 1. algoritmust).

**Algorithm 1 A Multi-H Algoritmus.**


---

**Bemenet:**  $I_1, I_2$  – képek;  $P, A, F := \text{MODS}(I_1, I_2)$  [22]  
 $P$  – pont-megfeleltetések;  $A$  – affin transzformációk;  $F$  – fundamentális mátrix  
**Kimenet:**  $\mathcal{H}$  – a kapott homográfiák;  $L$  – a címkézés

---

1:  $\mathcal{H}^0 := \text{HAF}(P, A, F)$  [12] ▷ Homográfiák becslése pontonként  
2:  $i := 0$ ;  
3: **repeat** ▷ Alternáló minimalizáció  
4:    $i := i + 1$ ;  
5:    $\mathcal{H}^i := \text{MeanShift}(\mathcal{H}^{i-1})$  ▷ Alapértelmezett  $\epsilon = 2.7$   
6:    $L^i := \alpha\text{-expansion}(P, \mathcal{H}^i)$  ▷ Alapértelmezett  $\lambda = 0.5, \gamma = 0.005$   
7:    $\mathcal{H}^i := \text{LSQHomographyRefinement}(P, A, L^i, F)$   
8: **until** Convergence ▷ if  $\mathcal{H}^i = \mathcal{H}^{i-1} \wedge L^i = L^{i-1}$   
9:  $\mathcal{H} := \mathcal{H}^i$ ;  $L := L^i$

---

**(1) Mean-Shift.** A 2. ábra azt mutatja, hogy az inicializáció után számos homográfia egybeesik (első két oszlop) és számos nem esik egybe (második két oszlop) valódi érintősíkokkal. Az egyes oszlopokban a pont, amelyből a homográfiát számoltuk, zölddel van jelölve, míg a  $\epsilon$ -inlierei pirossal, ahol  $\epsilon = 3.0$  pixel küszöböt használtunk. Az érintősíkokat kék poligonokkal jelöltük.

Azt feltételezzük, hogy azok a síkhomográfiák, amelyek több ponthoz is tartoznak, csomópontokként jelennek meg a homográfiák terében. Mivel a szintéren levő homográfiák számát nem ismerjük, a Mean-Shift [19] algoritmust használtuk ezen csomópontok kinyerésére. Az  $i$ . homográfia leírására a következő 6D teret konstruáltuk:

$$\mathbf{v}^i = \begin{bmatrix} w_1^{i,x} & w_1^{i,y} & w_2^{i,x} & w_2^{i,y} & w_3^{i,x} & w_3^{i,y} \end{bmatrix}, \quad (2)$$

ahol

$$\mathbf{w}_1^i = \frac{\mathbf{H}^i \begin{bmatrix} 0 & 0 & 1 \end{bmatrix}^T}{H_{33}^i}, \quad \mathbf{w}_2^i = \frac{\mathbf{H}^i \begin{bmatrix} 1 & 0 & 1 \end{bmatrix}^T}{H_{13}^i + H_{33}^i}, \quad \mathbf{w}_3^i = \frac{\mathbf{H}^i \begin{bmatrix} 0 & 1 & 1 \end{bmatrix}^T}{H_{23}^i + H_{33}^i}.$$

Az egyes  $\mathbf{w}^i$ -k nevezője a transzformált ponthoz tartozó projektív mélység. A  $\mathbf{v}^i$  vektorok meghatározzák a leírt homográfiát, hiszen az a  $\begin{bmatrix} 0 & 0 & 1 \end{bmatrix}^T$ ,  $\begin{bmatrix} 1 & 0 & 1 \end{bmatrix}^T$ ,  $\begin{bmatrix} 0 & 1 & 1 \end{bmatrix}^T$  pontokból és a transzformáltjukból kiszámolható, amennyiben ismert a fundamentális mátrix [12,9]. Annak ellenére, hogy számos lehetséges reprezentációja van egy homográfiának (pl. az elemei felhasználásával, négy pont vetítésével, stb.), mi a lehető legkevesebb dimenziót preferáljuk – a Mean-Shift algoritmus futási ideje erősen összefügg a dimenziószámmal.

Mivel az egyes  $[v_k^i \ v_{k+1}^i]$ ,  $k \in \{1, 3, 5\}$  koordináta-párok pontjait a  $\mathbf{H}^i$ -vel transzformáltjuk, a  $d$  távolságnak megfelelő választás az átlagos Euklideszi-távolsága a három koordináta párnak. Tehát a távolság az  $i$ . és a  $j$ . vektor között az alább látható:

$$d(\mathbf{v}^i, \mathbf{v}^j) = \frac{1}{3} \sum_{k=1}^3 \left\| \begin{bmatrix} v_{2(k-1)+1}^i & v_{2(k-1)+2}^i \end{bmatrix}^T - \begin{bmatrix} v_{2(k-1)+1}^j & v_{2(k-1)+2}^j \end{bmatrix}^T \right\|_2.$$

(2) **Az  $\alpha$ -expansion-t** [20] használó lépés a következő energiát minimalizálja:

$$E(L) = \frac{1}{\lambda} E_d(L) + \lambda E_s(L), \quad (3)$$

ahol  $L$  az aktuális címkézés,  $E_d(L)$  és  $E_s(L)$  pedig az adattag és a térbeli összetartozást leíró kifejezés. A  $\lambda$  paraméter az egyes kifejezések egymáshoz viszonyított fontosságát konfigurálja. Az adattag az alábbi módon definiált:

$$E_d(L) = \sum_{i=1}^N \left\| \mathbf{p}_2^i - \frac{\mathcal{H}^{l_i} \mathbf{p}_1^i}{\mathcal{H}_{31}^{l_i} p_1^{i,x} + \mathcal{H}_{32}^{l_i} p_1^{i,y} + \mathcal{H}_{33}^{l_i}} \right\|_2, \quad (4)$$

ahol  $\mathcal{H}^{l_i}$  az  $i$ . megfeleltetés  $l_i \in L$  címkéjére vonatkozó homográfia.

Az  $E_s$  tag arra feltételezésre reflektál, miszerint a közeli pontok nagyobb valószínűséggel tartoznak ugyanahhoz a homográfiahoz. Értéke egészen pontosan a különböző címkével ellátott szomszédos pontok száma:

$$E_s(L) = \sum_{i=1}^N \sum_{j=1}^N \mathcal{A}_{ij} \llbracket l_i \neq l_j \rrbracket, \quad (5)$$

ahol  $N$  a megfeleltetések száma, a  $\llbracket \cdot \rrbracket$  Iverson zárójel egyenlő eggyel, amennyiben a tartalmazott kifejezés igaz, ellenkező esetben pedig nulla. Az  $\mathcal{A}_{ij}$  a szomszédossági mátrix egy eleme és egyenlő eggyel, ha az  $i$ . és  $j$ . megfeleltetések szomszédok, egyébként pedig nulla az értéke. Két pont-megfeleltetést akkor tekintünk szomszédoknak, ha a távolságuk a 4D összefűzött koordináta rendszerben  $\gamma$ -nál kisebb – az egyes megfeleltetéshez tartozó vektor  $[p_1^x \ p_1^y \ p_2^x \ p_2^y]^T$ . Az  $\mathcal{A}$  mátrix hatékonyan számolható a FLANN algoritmus [25] segítségével.

Az energia ebben a lépésben nem növekedhet az  $\alpha$ -expansion algoritmus természetéből miatt. Azokat a pontokat nem rendeljük semelyik síkhoz, amelyek távolsága a legközelebbi síktól nagyobb, mint  $3\epsilon$ , ahol az  $\epsilon$  egy empirikus úton beállított küszöb.

(3) **A Legkisebb Négyzetes Homográfia Illesztés** a HAF [12] módszert használja az adott homográfia paramétereinek finomhangolására a címkézés alapján. Minden megfeleltetést felhasználva, amit a címkézés az adott homográfiahoz rendel, legkisebb négyzetes illesztés hajtható végre, ezzel minimalizálva az  $L_2$ -es hibát. Ezen lépés során nem változhat a homográfia száma. Az energia csökken, vagy nem változik, mivel  $E_d$  a visszavetítési hibák összege és ezt minimalizáljuk itt. Az  $E_s$  értéke változatlan marad, hiszen a címkézés nem változik a lépés során.

**A konvergenciát** eléri az algoritmus, amikor se a homográfia száma, se az energia nem változik két iteráció alatt. Mivel az első lépés nem növeli a számot, a többi csökkenti az energiát és a lehetséges címkézések száma véges, a konvergencia biztosított. A 3.. fejezetben bemutatott kísérleteken az 1. algoritmus legfeljebb nyolc iterációs lépés alatt konvergált.

### 3.. Kísérleti Eredmények

#### 3.1.. Összehasonlítás Multi-homográfiát Becslő Eljárásokkal

Ezen fejezetben a Multi-H algoritmust teszteljük multi-homográfia illesztési feladatára és megmutatjuk, hogy felülmúlja a korszerű módszereket.

**Lényeges síkok meghatározása.** Annak érdekében, hogy meghatározzuk, mikor lényeges egy sík és mikor nem, anélkül, hogy erős megkötéseket tennénk a minimum inlier számra, az alábbi algoritmust használjuk: (1) Először minden olyan síkot eltávolítunk, amelyhez kevesebb, mint négy pont tartozik. (2) Újraillesztjük a homográfiákat a normalizált négy pontos algoritmussal [9], majd a kapott eredményt a Levenberg-Marquardt optimalizációval finomítjuk, ezzel minimalizálva a visszavetítési hibát. (3) Az ismert kompatibilitási megkötés [9] homográfiára és fundamentális mátrixra vonatkozóan az alábbi:  $\mathbf{H}^T \mathbf{F} + \mathbf{F}^T \mathbf{H} = 0$ . Ezt felhasználva törölünk minden olyan  $\mathbf{H}_i$  homográfiát, melyre  $\|\mathbf{H}_i^T \mathbf{F} + \mathbf{F}^T \mathbf{H}_i\|_F > \theta$ . A paraméter hangolása után a  $\theta = 1.0$  értéket megfelelőnek találtuk a célra.

1. táblázat. Félreosztályozási hiba (%) kétképes sík szegmentációra. A kiválasztott képpárok az AdelaideRMF adathalmazból ugyanazok, mint [17]-ben. A ground truth síkok számát  $R$ -el jelöltük.

	R	PEARL	QP-MF	FLOSS	ARJMC	SA-RCM	J-Lnkg	T-Lnkg	Multi-H
johnsonna	4	4.02	18.50	4.16	6.48	5.90	5.07	4.02	<b>2.41</b>
johnsonnb	7	18.18	24.65	18.18	21.49	17.95	18.33	18.17	<b>4.46</b>
ladysymon	2	5.49	18.14	5.91	5.91	7.17	9.25	5.06	<b>0.00</b>
neem	3	5.39	31.95	5.39	8.81	5.81	3.73	3.73	<b>0.00</b>
oldclassicswing	2	1.58	13.72	1.85	1.85	2.11	0.27	0.26	<b>0.00</b>
sene	2	0.80	14.00	0.80	0.80	0.80	0.84	0.40	<b>0.00</b>
mean		5.91	20.16	6.05	7.56	6.62	6.25	5.30	<b>1.19</b>
median		4.71	18.32	4.78	6.20	5.86	4.40	3.87	<b>0.00</b>

	J-Lnkg	T-Lnkg	RPA	SA-RCM	Grdy-RansaCov	ILP-RansaCov	Multi-H
mean	25.50	24.66	17.20	28.30	26.85	12.91	<b>4.40</b>
median	24.48	24.53	17.78	29.40	28.77	12.34	<b>2.41</b>

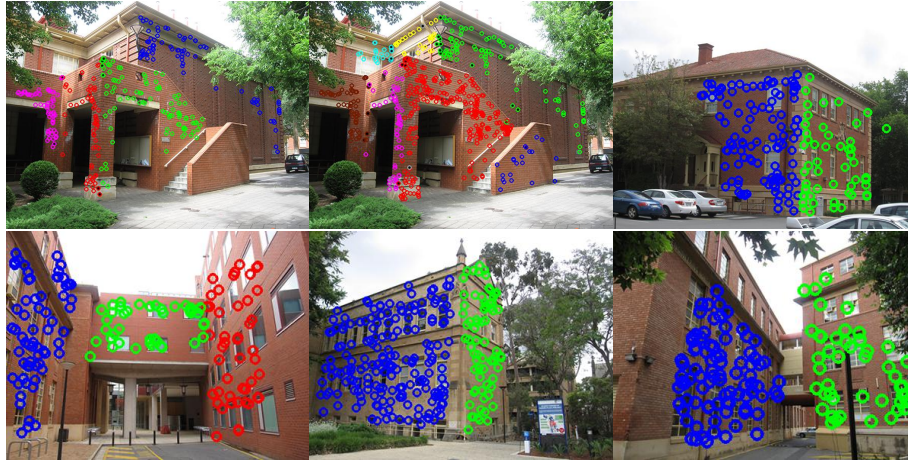
A Multi-H-t a [17]-ben javasolt módon teszteltük az AdelaideRMF adathalmazon – amely minden egyes képpárhoz tartalmaz pontmegfeleltetéseket domináns síkokhoz rendelve. Ellenben az adathalmaz lokális affin transzformációkat nem tartalmaz, ezért a MODS [22] detektorral annyi megfeleltetést generáltunk, amennyit lehetséges – ez egy paramétere a MODS-nak. Végül megkerestük a legközelebbi detektált megfeleltetést minden egyes párhoz az adathalmazból. Ezeket

a megfeleltetéseket és a hozzájuk tartozó affinitásokat használtuk bemenetként a Multi-H-hoz.

A félreosztályozási hibát (FH) a következőképp számoltuk: először megkerestük a leképezést az  $L_{GT}$  ground truth és a Multi-H által javasolt  $L$  címkézések között. Erre egy iteratív módszer használtunk, amely minden egyes Multi-H homográfiához azt a ground truth homográfiát rendeli, amellyel a legnagyobb az átfedése. Megjegyezzük, hogy amennyiben ez a hozzárendelés nem optimális, akkor a félreosztályozási hibákat felülről becsültük. Az FH egyenlő  $\sum_{i=1}^N \mathbb{1}[l_{GT}^i \neq l^i]$ -vel, amely a rosszul osztályozott és az összes pont aránya.

Az első kísérletben a Multi-H-t a T-Linkage [17], ARJMC [26], PEaRL [18], QP-MF [27], FLoSS [28], J-Linkage [16] és SA-RCM [29] algoritmusokkal hasonlítottuk össze (lásd 1. táblázatot). Minden módszer paramétereit, beleértve a javaslatot, minden egyes képpárra külön lettek behangolva. Habár, mi a fix paraméterekkel kapott eredményeket preferáljuk – ezeket a fejezet végén be is mutatjuk –, a képpáronként hangolt eredményeket bemutatása teszi lehetővé, hogy az irodalomban elérhető eredményekkel összehasonlítsuk a javasolt módszert.

Az 1. táblázat azt mutatja, hogy a Multi-H szolgáltatja a legkisebb átlagos és medián hibákat azon a hat képpáron amelyet a [17] cikk is használ. A 3. ábra a Multi-H pontokat mutatja, színekkel jelölve a síkot, amelyhez tartoznak.



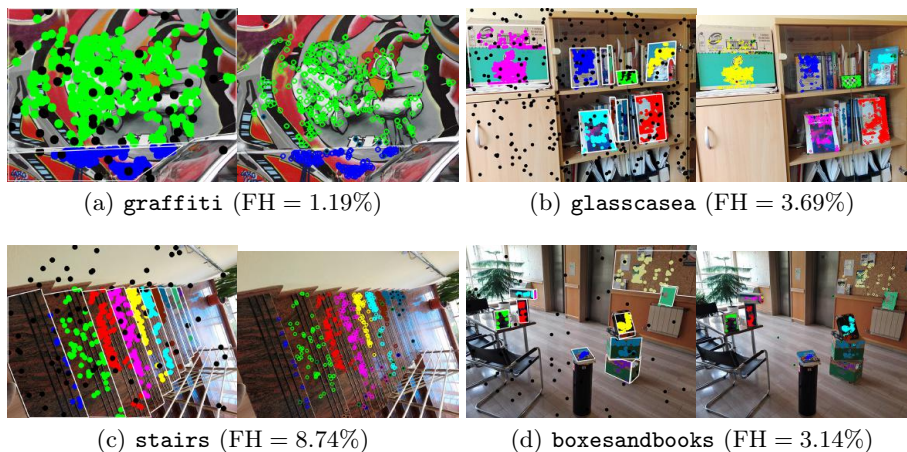
3. ábra. A Multi-h által adott particionális az AdelaideRMF adathalmazon. A síkokat színekkel jelöltük. Látható néhány félreosztályozott pont a bal-felső és bal-középső képeken az élek közelében. Ezeket apró, kitöltött, fekete körökkel jelöltük.

A 3.1.. táblázat az átlag és medián félreosztályozási hibákat mutatja az AdelaideRMF mind a 19 képén. A többi módszer a T-Linkage [17], J-Linkage [16], RPA [30], SA-RCM [29], Greedy-RansaCov [31] és az ILP-RansaCov [31]. Multi-



H jelentősen felülmúlja az összes megvizsgált módszert. Megjegyezzük, hogy jelentős különbség látszik azon a hat képpáron – amit általában használnak az irodalomban (1. táblázat) – és az összesen elért eredmények között.

Annak ellenére, hogy ez az adathalmaz a leggyakrabban használt multi-homográfia illesztésre, általánosságban könnyű teszteseteket tartalmaz, amelyeknél a megfigyelt síkok merőlegesek vagy messze vannak egymástól. Annak érdekében, hogy teszteljük a Multi-H pontosságát, nagyobb kihívást jelentő képpárokat készítettünk – ezek láthatóak a 4. ábrán. Ezeken a képeken a MODS [22] algoritmussal detektáltunk pontmegfeleltetéseket, majd manuálisan síkokhoz rendeltük őket. Legvégül outliereket, hibás pontpárokat adtunk a detektált halmazhoz. A 4. ábra egyes képpárainál az első kép a ground truth szegmentáció, a második a kinyert síkparticionálás. Az outliereket fekete pontokkal ábrázoltuk a képeken. A 4(a). pár ismert a közkezdvelt **graffiti** tesztsorozatból.<sup>6</sup> Itt két alig különböző sík látható – az alsó sík alig láthatóan közelebb van a kamerához, mint a felső. Ennek ellenére a Multi-H pontosan különbözteti a két síkot és alacsony, 1.19%-os hibát ér el. A 4(b). képpár egy könyvespolcot, míg a 4(c) egy lépcsőt ábrázol felülről nézve. Az utolsó két képen (4(d).) egy szoba látható dobozokkal és síkszerű objektumokkal. Ezek a tesztek nehezebbek egy multi-homográfia detektáló algoritmusnak, hiszen az épületekkel ellentétben a megfigyelt síkok közel vannak egymáshoz, az orientációjuk egészen hasonló is lehet, és kis kiterjedésűek (lásd például a könyvgerinceket a **glasscasea** példán).



4. ábra. Négy képpár az új adathalmazból. A pontok, érintősíkjuktól függően, különböző színűek. Kézi annotáció (bal) és Multi-H eredmény (jobb). Az FH a félreosztályozási hiba.

<sup>6</sup> <http://www.robots.ox.ac.uk/~vgg/research/affine/>

2. táblázat. Öt futtatás átlagos félreosztályozási hibája (%) fix paramétereiket használva. A következő rövidítéseket használtuk: johnsonna (johnsa), johnsonnb (johnsb), oldclassicswing (old).

	johnsa	johnsb	ladysymon	neem	old	sene	mean	median
<b>Multi-H</b>	<b>9.33</b>	<b>10.14</b>	<b>4.49</b>	<b>2.00</b>	<b>1.79</b>	<b>0.00</b>	<b>4.79</b>	<b>3.74</b>
T-Lnkg	34.28	24.04	24.67	25.65	20.66	7.63	22.82	24.36
SA-RCM	36.73	16.46	39.50	41.45	21.30	20.20	29.27	29.02
RPA	10.76	26.76	24.67	19.86	25.25	0.42	17.95	22.27

**A javasolt konfiguráció.** Praktikus okok miatt előnyös, hogy ha egyetlen fix paraméter-beállítás lefedi az esetek többségét. Kimerítő kereséssel meghatároztuk, hogy a  $\lambda = 0.5$ ,  $\epsilon = 2.7$  és a  $\gamma = 0.005$  paraméterek jó eredményeket adnak. A 2. táblázat a félreosztályozási hibát mutatja az AdalaideRMF adathalmazonon (5 futtatás átlaga). Az eredmények rosszabbak, mint a képenként hangoltak (lásd 1. táblázat), de a Multi-H így is lényegesen jobban teljesít, mint a többi módszer fix paraméterekkel<sup>7</sup>.

### 3.2.. Felületi Normálisok Becslése

Ebben a fejezetben a Multi-H által becsült felületi normálisokat hasonlítjuk össze az affín kovariáns detektorok pontpáronként kapott eredményeivel. A pontosságot a fountain-P11 adathalmazon [32] értékeltük ki, amely 11 darab  $3072 \times 2048$ -as képet, projekciós és kalibrációs mátrixokat, illetve 3D-s irányított pontfelhőket tartalmaz. Pontmegfeleltetéseket MODS [22]-al detektáltunk a képpárok között – átlagosan 920-at.



5. ábra. Érintősíkukhoz rendelt megfeleltetések a fountain-P11 első két frame-én. A síkokat színek jelölik, a felületi normálisokat pedig fehér szakaszok.

<sup>7</sup> Az eredményeket a [30]-ból másoltuk.

A Multi-H az érintősíkjaik alapján particionálja a megfeleltetéseket (lásd 6. ábra), majd egyetlen homográfiát illeszt a klaszter összes pontjára. Ekkor a felületi normális könnyen számolható a homográfia paramétereiből, hiszen a kamerák paramétereit ismerjük. A 3. táblázat (3. sor a Multi-h eredménye) mutatja az átlagos és medián szöghibákat a becült és a ground truth normálisok között. A Multi-H általt becült normálisok lényegesen pontosabbak, mint a detektorok által becült lokális transzformációkból számoltak (3. táblázat, első sor). Az EG- $L_2$ -Opt procedúra <sup>8</sup> által becült normálisok is lényegesen kevésbé pontosak (3. táblázat, második sor).

3. táblázat. A becült normálisok átlagos és medián szöghibái (fokban) a kiválasztott képpárok között.

Frames	1 – 2		3 – 5		1 – 5		6 – 8		5 – 9	
Affin Detektor	35.7	32.7	24.9	20.3	19.0	15.8	22.5	18.6	20.0	15.4
EG- $L_2$ -Optimális	35.5	32.5	23.1	19.8	16.7	13.9	19.9	16.6	17.8	14.4
<b>Multi-H</b>	<b>14.4</b>	<b>9.4</b>	<b>9.0</b>	<b>7.5</b>	<b>7.0</b>	<b>5.8</b>	<b>8.8</b>	<b>7.3</b>	<b>7.1</b>	<b>5.7</b>

### 3.3.. Feldolgozási Idő és az Implementáció Részletei

A Multi-H procedúra sebességét egy 100 és egy 500 megfeleltetést tartalmazó ponthalmazon teszteltük. Az 1. algoritmus átlagos iteráció száma megközelítőleg 6 volt mindkét esetben. Az átlagos feldolgozási idő pedig 0.04 és 0.80 másodperc a két ponthalmazra egy asztali PC-n Intel Core i5-4690 CPU, 3.50 GHz processzorral 4 magot használva.

A 6(a). ábra egyes oszlopai az egyes képpárokra vonatkozó feldolgozási időt jelölik tizedmásodpercben. Az egyes sávok az algoritmus különböző lépéseit mutatják. Az adatok azt mutatják, hogy a Multi-H időigénye elhanyagolható a pontdetekciós lépéshez képest (MODS). A szomszédossági mátrix és a pontonkénti homográfiák kiszámolására vonatkozó sávok nem láthatóak, hiszen azok időigénye megközelítőleg 4 – 6 tizedmásodperc.

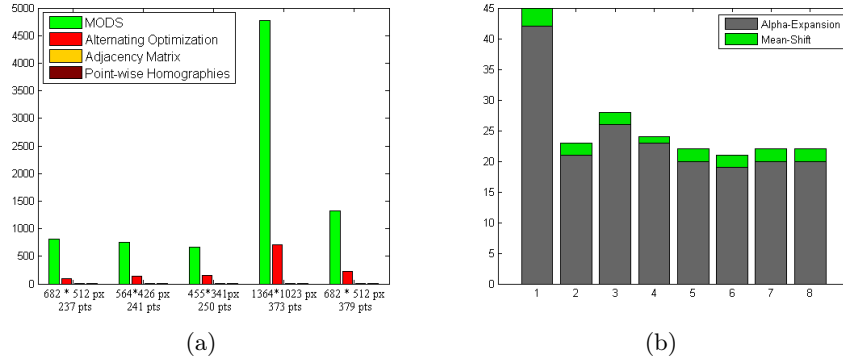
A 6(b). ábra az alternáló minimalizáció feldolgozási idejét mutatja. Láthatólag lényegesen lecsökken az idő az első lépés után, majd konstansnak tűnik. A csökkenés a Mean-Shift algoritmusnak köszönhető, amely lényegesen redukálja a homográfiák számát, ezzel gyorsulást előidézve a  $\alpha$ -expansion algoritmusban.

A Multi-H-t C++ nyelven implementáltuk és a GCOptimization<sup>9</sup> könyvtárban implementált  $\alpha$ -expansion-t használtuk. Gyors Mean-Shift implementációt a webről töltöttünk le<sup>10</sup>.

<sup>8</sup> Az EG- $L_2$  módszer a lokális affin transzformációkat javítja az epipoláris geometria felhasználásával

<sup>9</sup> <http://vision.csd.uwo.ca/code/>

<sup>10</sup> <http://scikit-learn.org/stable/modules/clustering.html#mean-shift>



6. ábra. (a) A Multi-H feldolgozási ideje (tizedmásodpercben) különböző képpárokon. A vízszintes tengely az egyes oszlopoknál a képfelbontást és megfelelőtétés számot jelöli. (b) Az 1-8. iterációs lépések futási ideje a **hartley** teszten.

#### 4. Összefoglalás

Egy újszerű megközelítést javasoltunk érintősíkok becslésére képpárok közötti pont-megfeleltetések particionálása által. A módszer pontos és felülmúlja a korszerű multi-homográfia-becslő technikákat mind fix, mind képről-képre hangolt paraméterekkel. A kísérletek azt mutatták, hogy a szabványos adathalmaz relatíve könnyű, ezért kiegészítettük az adatokat új, nagyobb kihívásnak bizonyuló képpárokkal.

A legtöbb alkalmazásban a Multi-H lényegesen gyorsabb lesz, mint amilyen gyorsan az affin kovariáns detektorok nyerik ki az eredményüket. Az algoritmus valós idejű, amennyiben a pontok száma legfeljebb 300. Azonban az  $\alpha$ -expansion GPU implementációja [33] valós idejűvé teheti nagyobb problémákra is.

A forráskód és az annotált adathalmaz elérhető a <http://web.eee.sztaki.hu/home4/node/56> címről.

#### Hivatkozások

1. Z. Zhang, „A flexible new technique for camera calibration,” *Pattern Analysis and Machine Intelligence (PAMI)*, pp. 1330–1334, 2000.
2. T. Ueshiba and F. Tomita, „Plane-based calibration algorithm for multi-camera systems via factorization of homography matrices,” in *International Conference on Computer Vision (ICCV)*, 2003, pp. 966–973.
3. Z. Chuan, T. D. Long, Z. Feng, and D. Z. Li, „A planar homography estimation method for camera calibration,” in *Computational Intelligence in Robotics and Automation*, 2003, pp. 424–429.
4. J. Zhou and B. Li, „Robust ground plane detection with normalized homography in monocular sequences from a robot platform,” in *Image Processing*, 2006, pp. 3017–3020.

5. J. Chen, W. E. Dixon, D. M. Dawson, and M. McIntyre, „Homography-based visual servo tracking control of a wheeled mobile robot,” *Robotics*, pp. 406–415, 2006.
6. G. Simon, A. W. Fitzgibbon, and A. Zisserman, „Markerless tracking using planar structures in the scene,” in *International Symposium on Augmented Reality (ISAR)*, 2000, pp. 120–128.
7. Z. Zhang and A. R. Hanson, „3d reconstruction based on homography mapping,” *Proc. ARPA96*, pp. 1007–1012, 1996.
8. T. Werner and A. Zisserman, „New techniques for automated architectural reconstruction from photographs,” in *European Conference on Computer Vision (ECCV)*, 2002, pp. 541–555.
9. R. Hartley and A. Zisserman, *Multiple view geometry in computer vision*. Cambridge university press, 2003.
10. P. K. Mudigonda, C. V. Jawahar, and P. J. Narayanan, „Geometric structure computation from conics,” in *ICVGIP*, 2004, pp. 9–14.
11. A. Sugimoto, „A linear algorithm for computing the homography from conics in correspondence,” *Journal of Mathematical Imaging and Vision (JMIV)*, pp. 115–130, 2000.
12. D. Barath and L. Hajder, „Novel ways to estimate homography from local affine transformations,” in *Joint Conference on Computer Vision, Imaging and Computer Graphics Theory and Applications (VISAPP)*, 2016, pp. 432–443.
13. J. Nemeth, C. Domokos, and Z. Kato, „Recovering planar homographies between 2d shapes,” in *12th International Conference on Computer Vision (ICCV)*, 2009, pp. 2170–2176.
14. E. Vincent and R. Laganière, „Detecting planar homographies in an image pair,” in *Image and Signal Processing and Analysis (ISPA)*, 2001, pp. 182–187.
15. M. Zuliani, C. S. Kenney, and B. S. Manjunath, „The multiransac algorithm and its application to detect planar homographies,” in *International Conference on Image Processing (ICIP)*, 2005, pp. III–153.
16. R. Toldo and A. Fusiello, „Robust multiple structures estimation with j-linkage,” in *European Conference on Computer Vision (ECCV)*, 2008, pp. 537–547.
17. L. Magri and A. Fusiello, „T-linkage: a continuous relaxation of j-linkage for multi-model fitting,” in *Computer Vision and Pattern Recognition (CVPR)*, 2014, pp. 3954–3961.
18. H. Isack and Y. Boykov, „Energy-based geometric multi-model fitting,” *International Journal of Computer Vision (IJCV)*, pp. 123–147, 2012.
19. D. Comaniciu and P. Meer, „Mean shift: A robust approach toward feature space analysis,” *Pattern Analysis and Machine Intelligence (PAMI)*, pp. 603–619, 2002.
20. Y. Boykov, O. Veksler, and R. Zabih, „Fast approximate energy minimization via graph cuts,” *Pattern Analysis and Machine Intelligence (PAMI)*, pp. 1222–1239, 2001.
21. K. Mikolajczyk, T. Tuytelaars, C. Schmid, A. Zisserman, J. Matas, F. Schaffalitzky, T. Kadir, and L. Van Gool, „A comparison of affine region detectors,” *International Journal of Computer Vision*, pp. 43–72, 2005.
22. D. Mishkin, J. Matas, and M. Perdoch, „MODS: Fast and robust method for two-view matching,” *Computer Vision and Image Understanding*, pp. 81–93, 2015.
23. J.-M. Morel and G. Yu, „ASIFT: A new framework for fully affine invariant image comparison,” *SIAM Journal on Imaging Sciences*, pp. 438–469, 2009.
24. D. Barath, J. Matas, and L. Hajder, „Accurate closed-form estimation of local affine transformations consistent with the epipolar geometry,” in *27th British Machine Vision Conference (BMVC)*, 2016.

25. M. Marius and G. D. Lowe, „Fast approximate nearest neighbors with automatic algorithm configuration,” in *International Conference on Computer Vision Theory and Application (VISAPP)*, 2009, pp. 331–340.
26. T. T. Pham, T.-J. Chin, J. Yu, and D. Suter, „Simultaneous sampling and multi-structure fitting with adaptive reversible jump mcmc,” in *Advances in Neural Information Processing Systems*, 2011, pp. 540–548.
27. J. Yu, T.-J. Chin, and D. Suter, „A global optimization approach to robust multi-model fitting,” in *Conference on Computer Vision and Pattern Recognition (CVPR)*, 2011, pp. 2041–2048.
28. N. Ladic, I. Givoni, B. Frey, and P. Aarabi, „Floss: Facility location for subspace segmentation,” in *International Conference on Computer Vision (ICCV)*, 2009, pp. 825–832.
29. T.-T. Pham, T.-J. Chin, J. Yu, and D. Suter, „The random cluster model for robust geometric fitting,” *Pattern Analysis and Machine Intelligence (PAMI)*, pp. 1658–1671, 2014.
30. L. Magri and A. Fusiello, „Robust multiple model fitting with preference analysis and low-rank approximation.”
31. —, „Multiple model fitting as a set coverage problem,” in *Conference on Computer Vision and Pattern Recognition (CVPR)*, 2016, pp. 3318–3326.
32. C. Strecha, W. von Hansen, L. V. Gool, P. Fua, and U. Thoennessen, „On benchmarking camera calibration and multi-view stereo for high resolution imagery,” in *Computer Vision and Pattern Recognition (CVPR)*, 2008, pp. 1–8.
33. V. Vineet and P. J. Narayanan, „Solving multilabel mrfs using incremental  $\alpha$ -expansion on the gpus,” in *Computer Vision (ACCV)*, 2009, pp. 633–643.